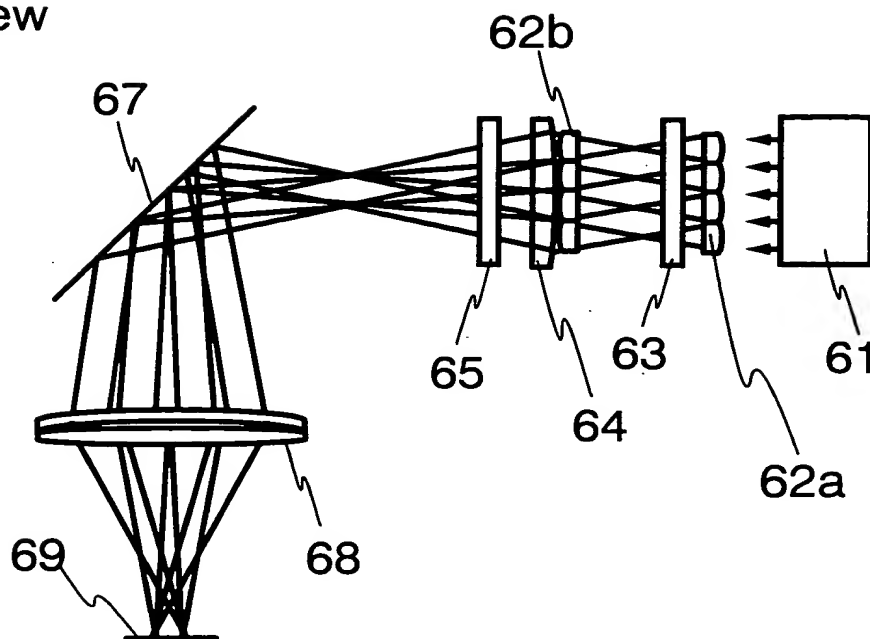


Lateral view



Top view

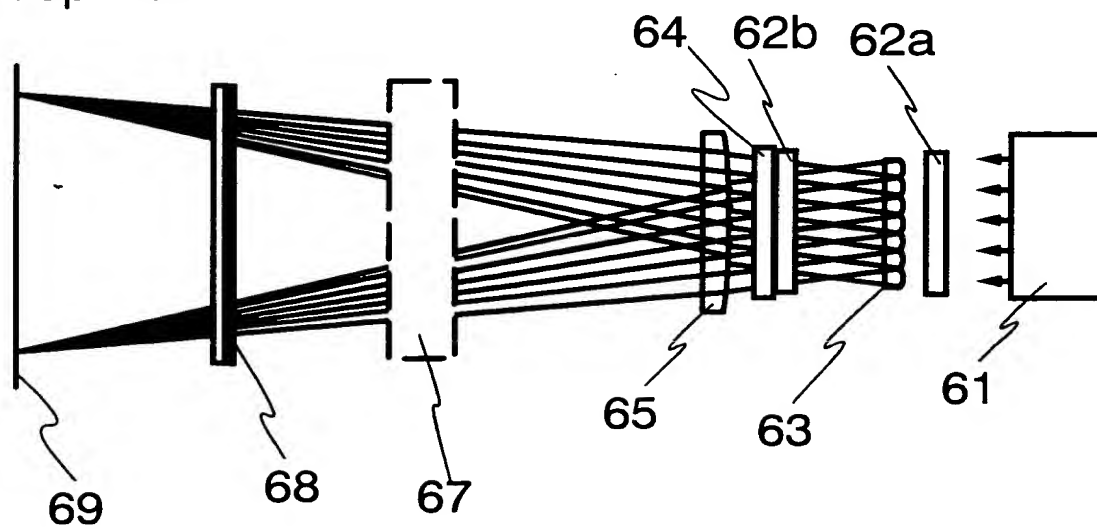


Fig. 1

Fig. 2A

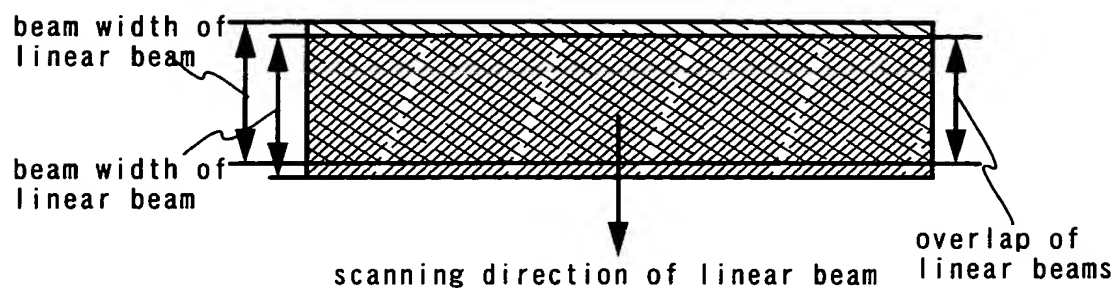


Fig. 2B

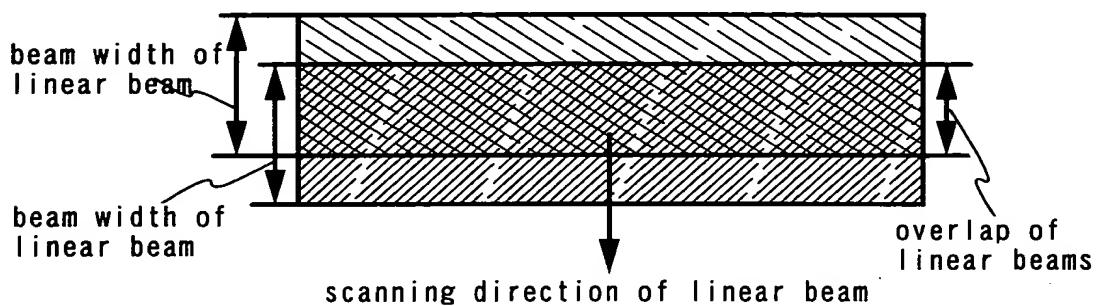


Fig. 2C

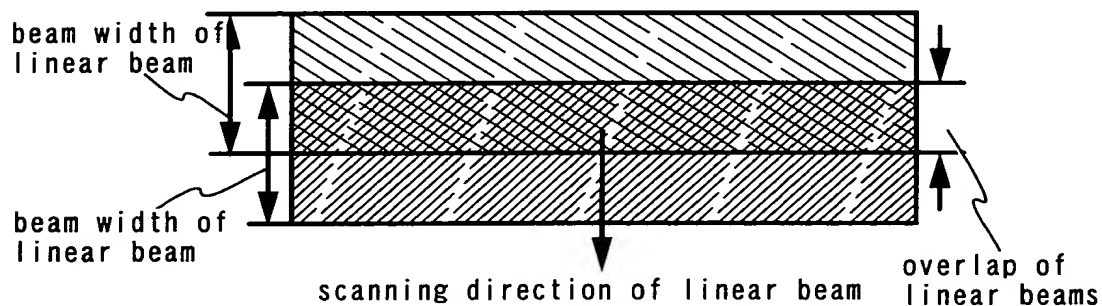
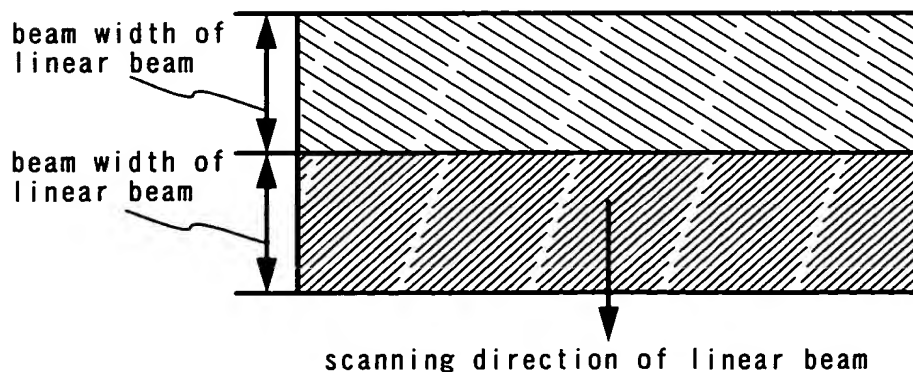


Fig. 2D



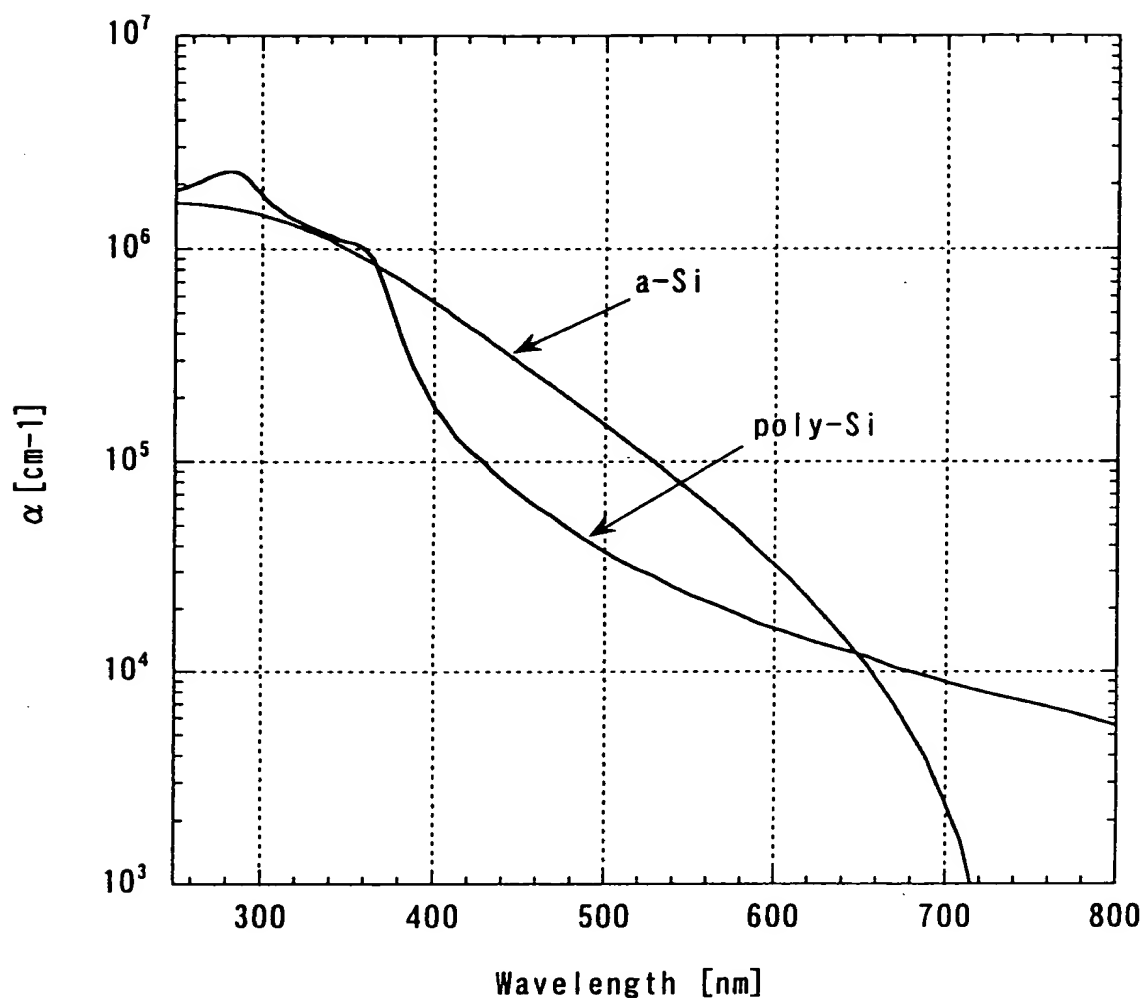


Fig. 3

Fig. 4A

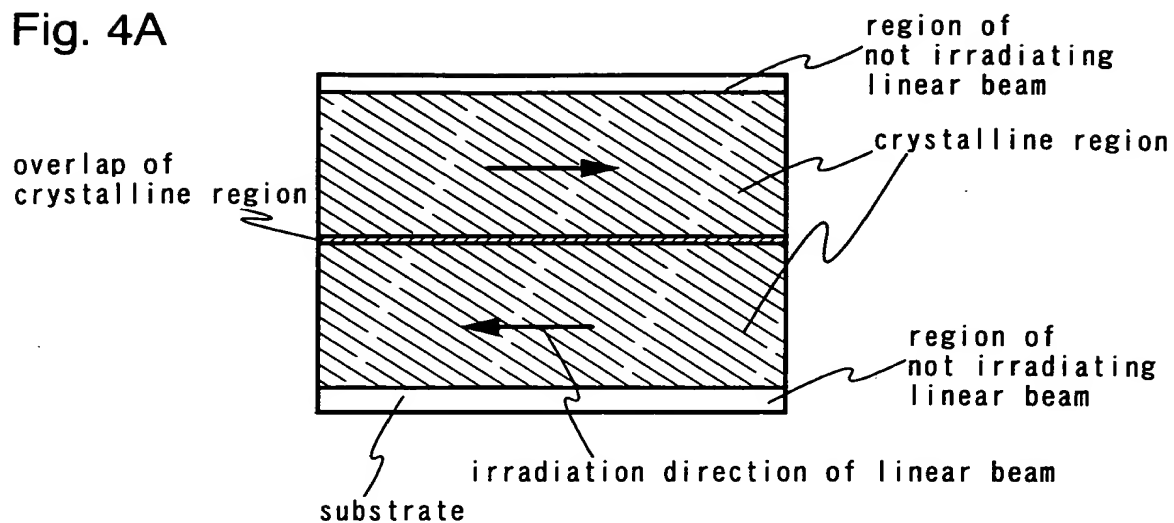


Fig. 4B

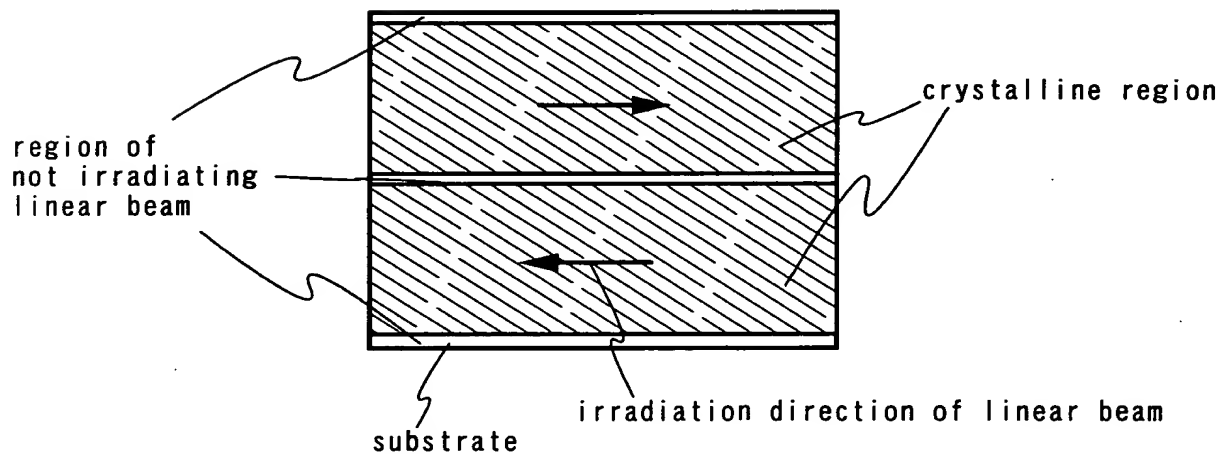
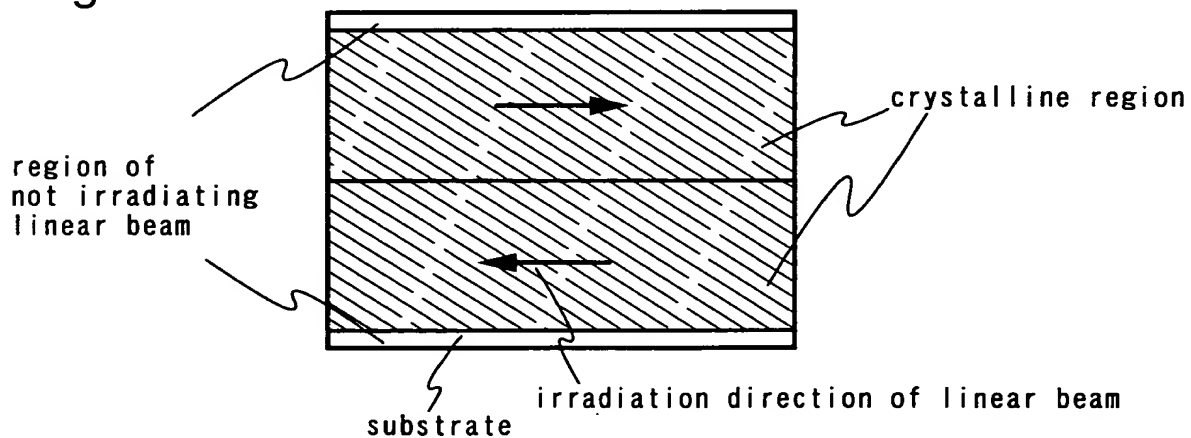
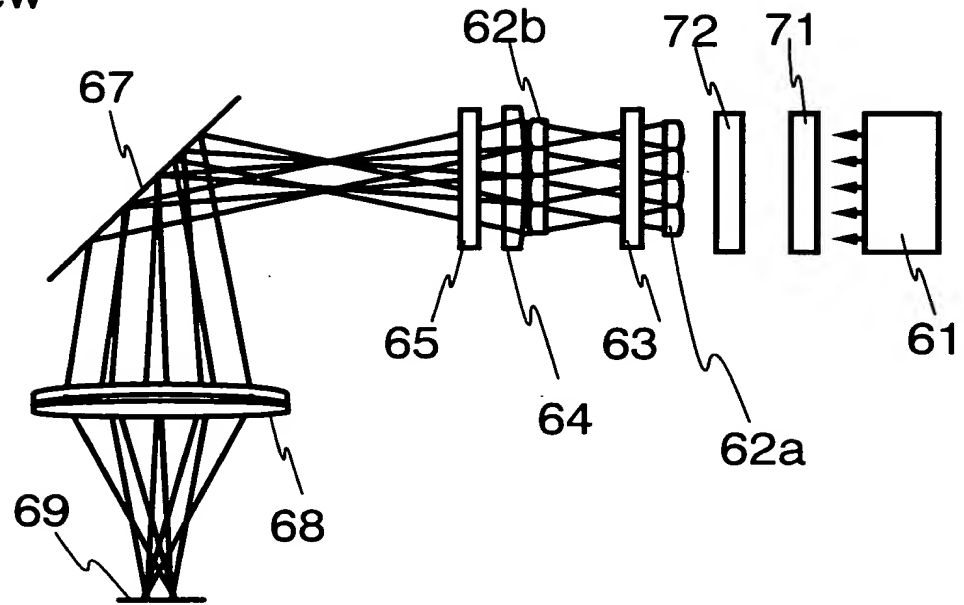


Fig. 4C



Lateral view



Top view

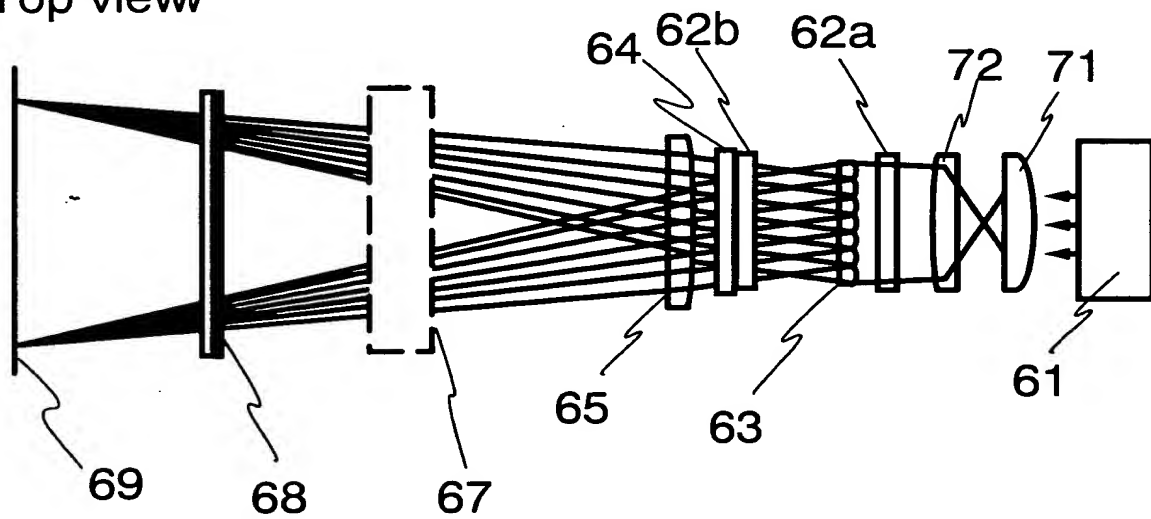


Fig. 5

Patented Feb 26, 1930

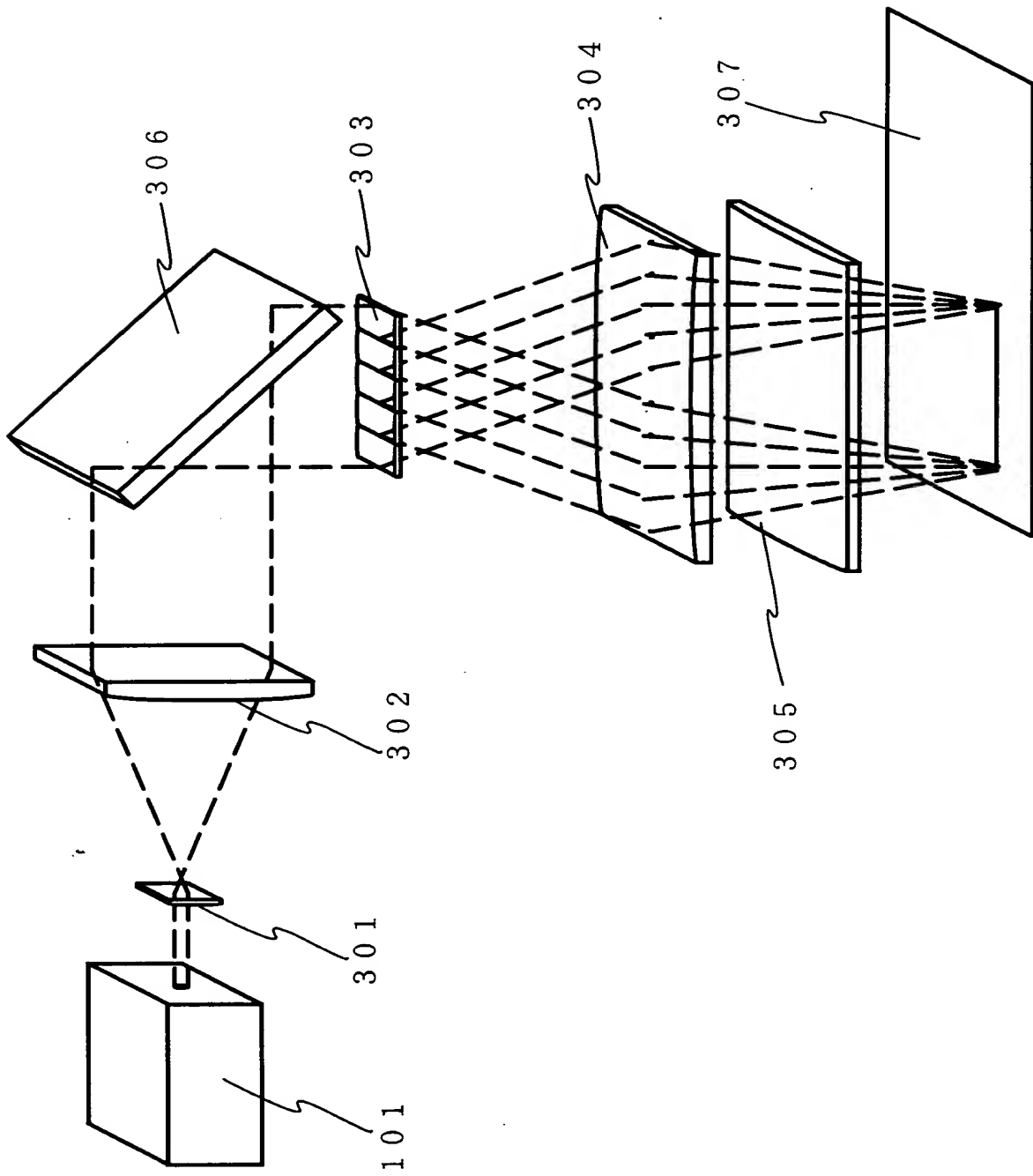


Fig. 6

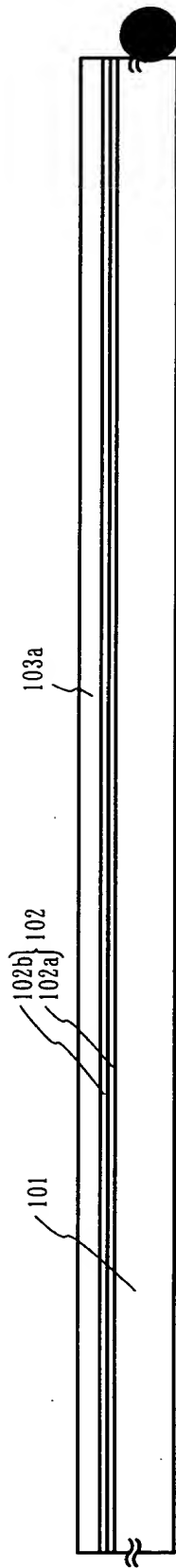


Fig. 7A

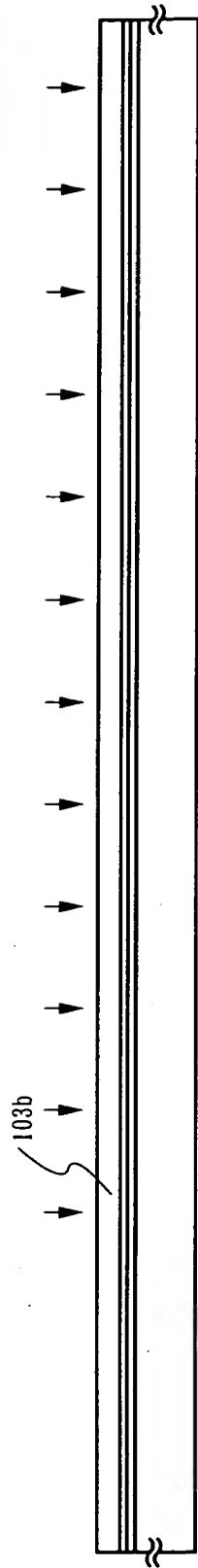


Fig. 7B

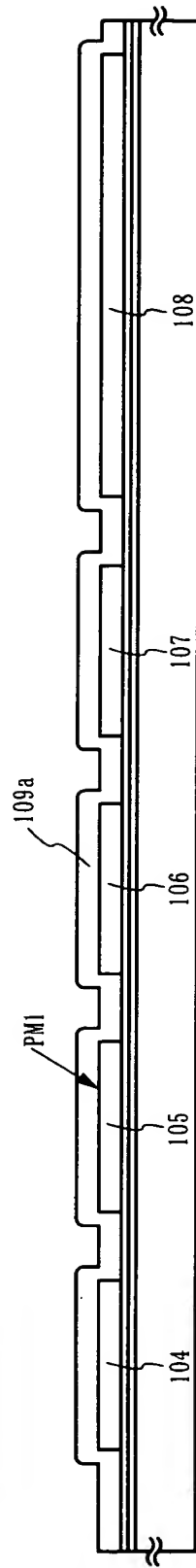


Fig. 7C

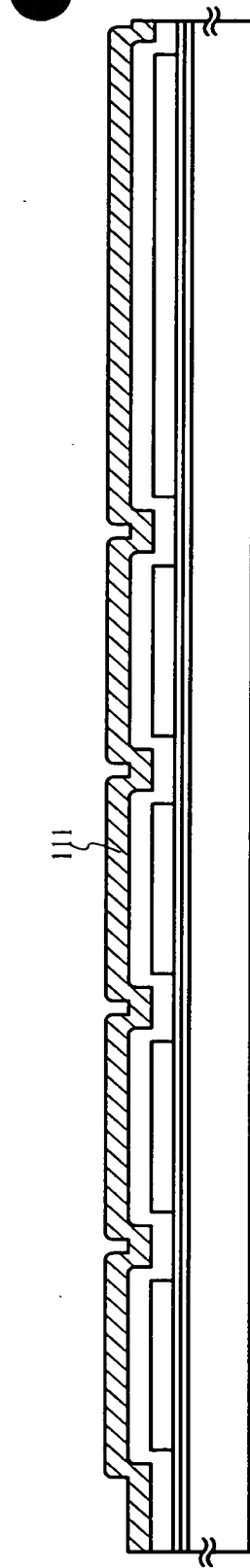


Fig. 7D

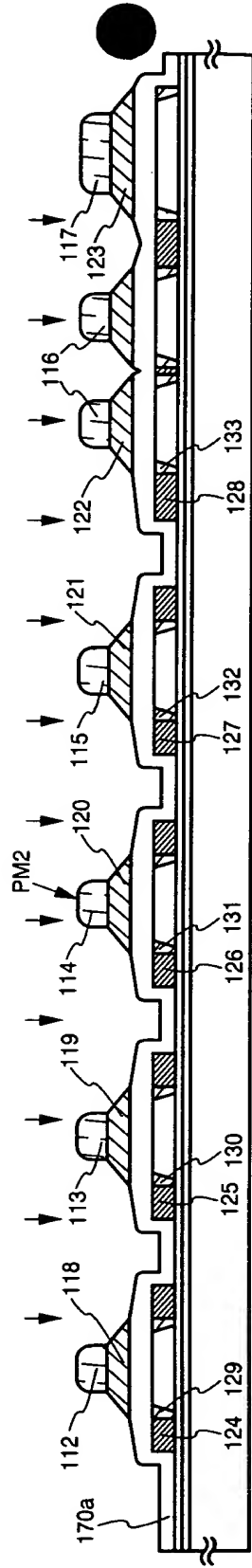


Fig. 8A

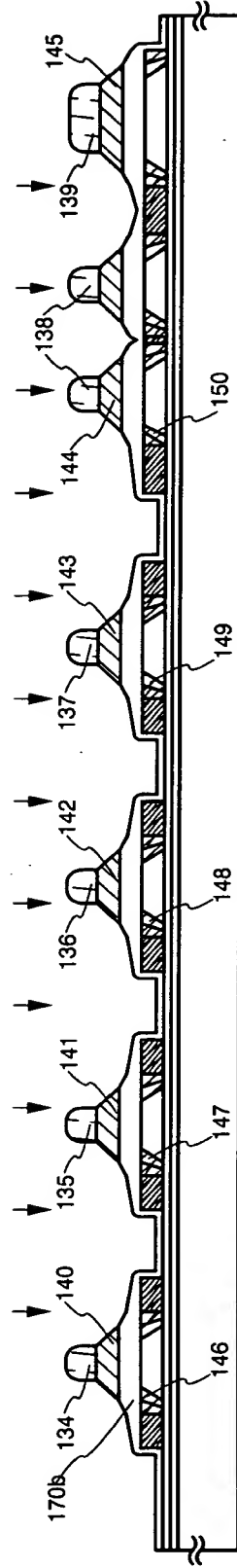


Fig. 8B

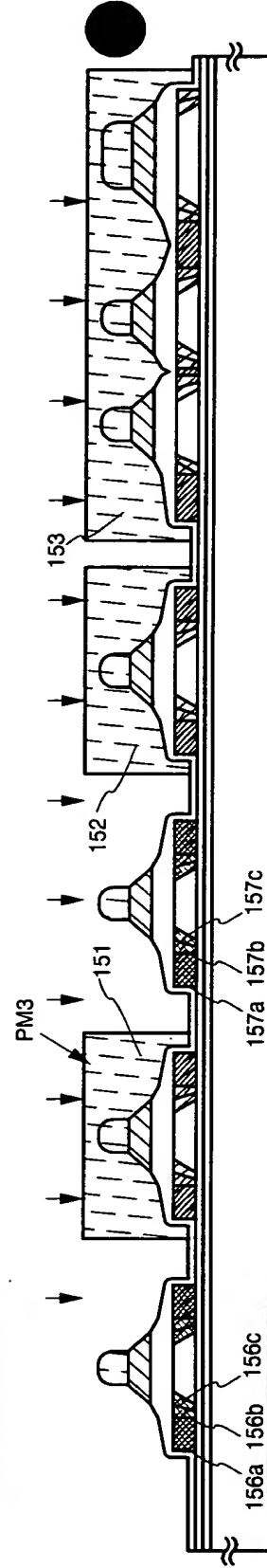


Fig. 8C



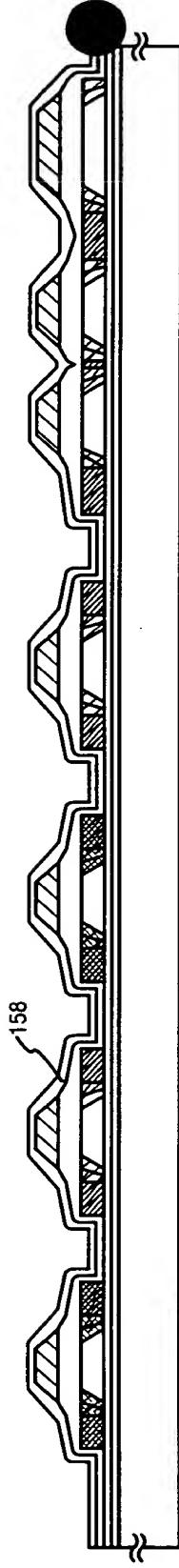


Fig. 9A

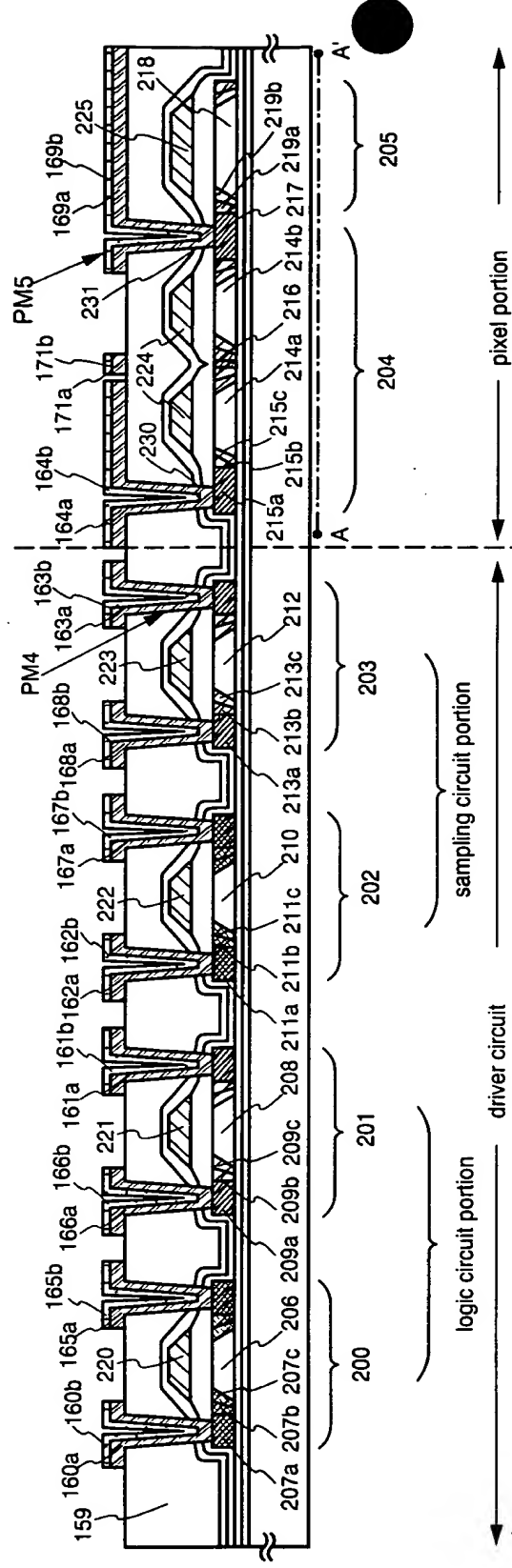


Fig. 9B



Fig. 11A

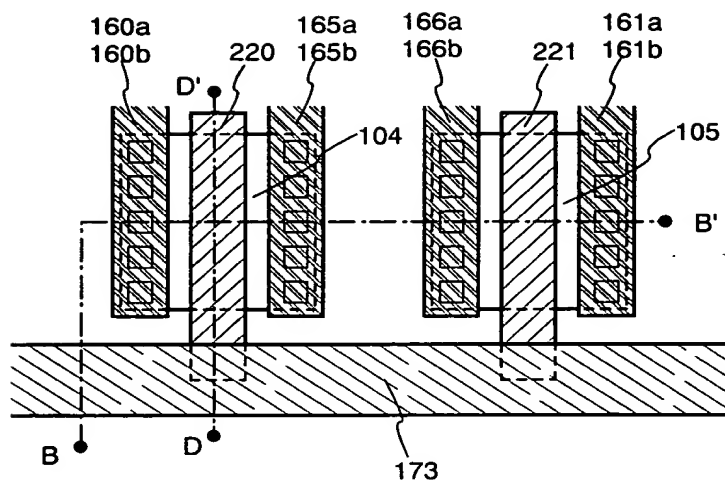


Fig. 11B

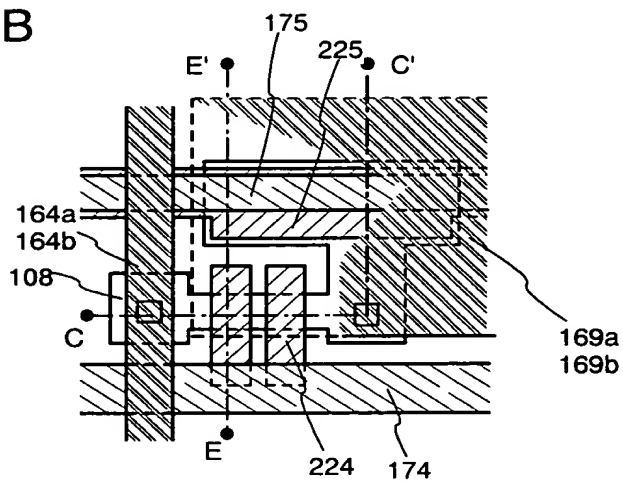


Fig. 12A

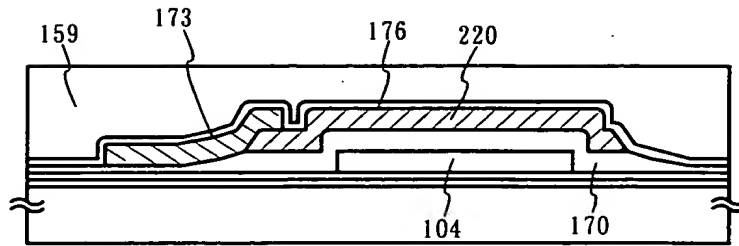


Fig. 12B

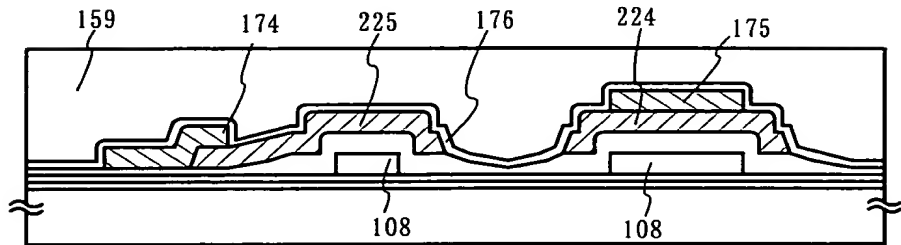


Fig. 13A

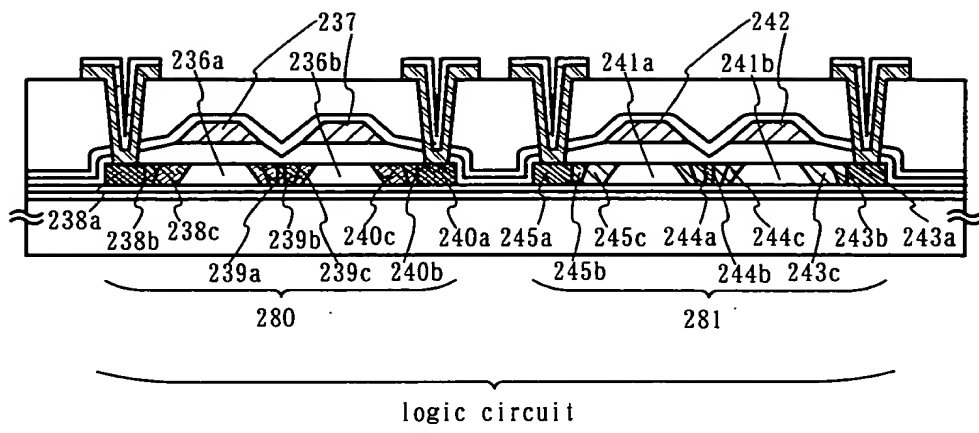


Fig. 13B

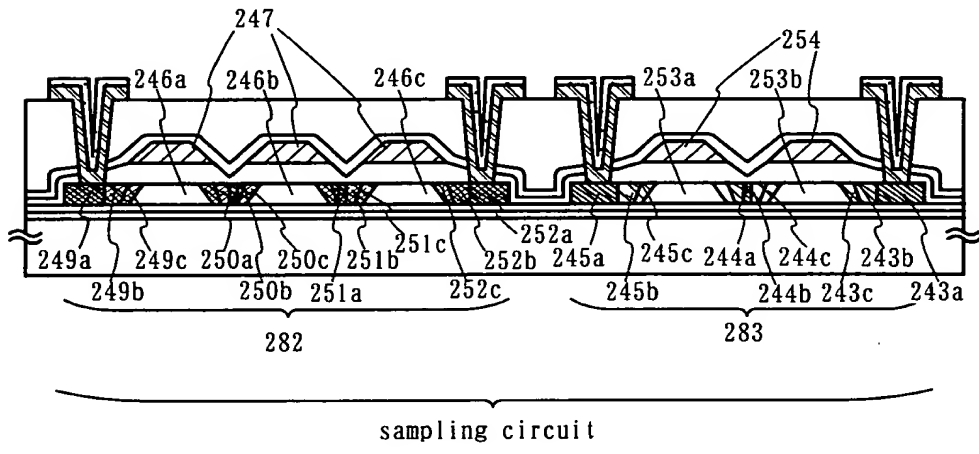


Fig. 14A

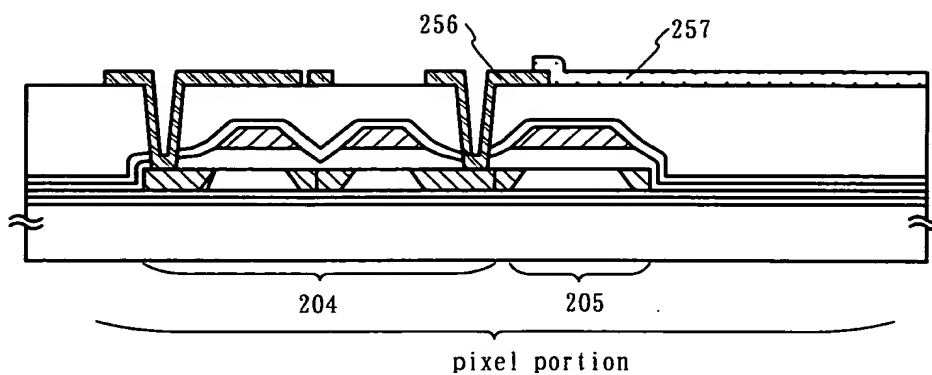


Fig. 14B

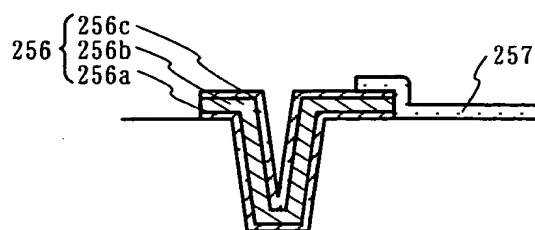


Fig. 14C

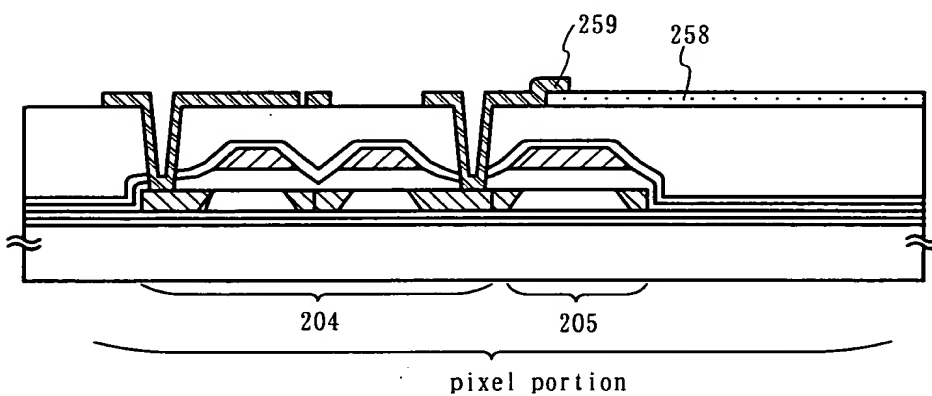


Fig. 14D

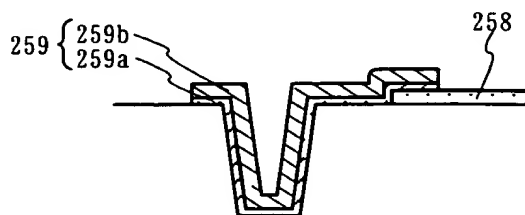


Fig. 15

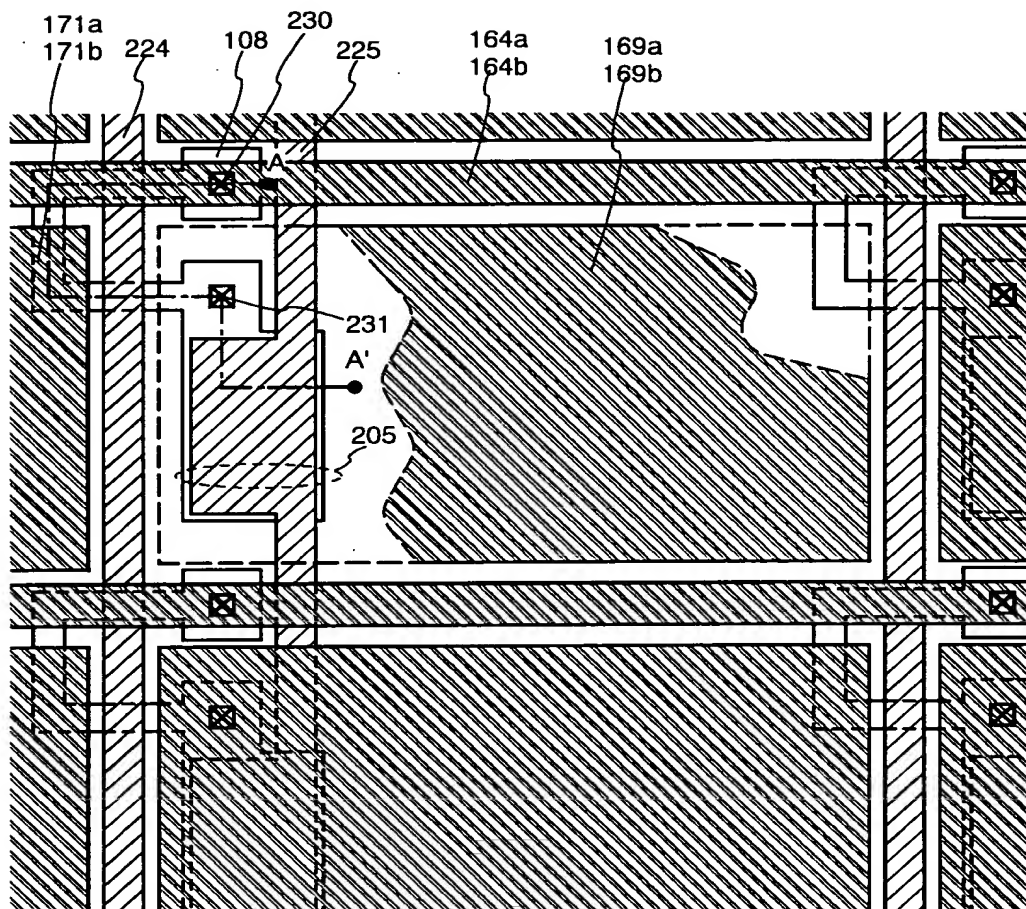


Fig. 15

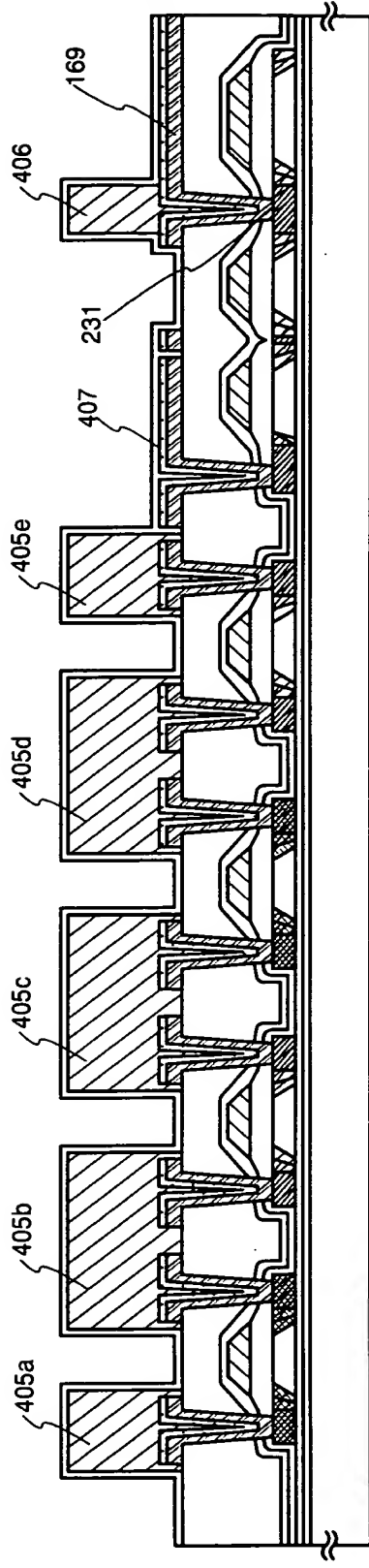


Fig. 16A

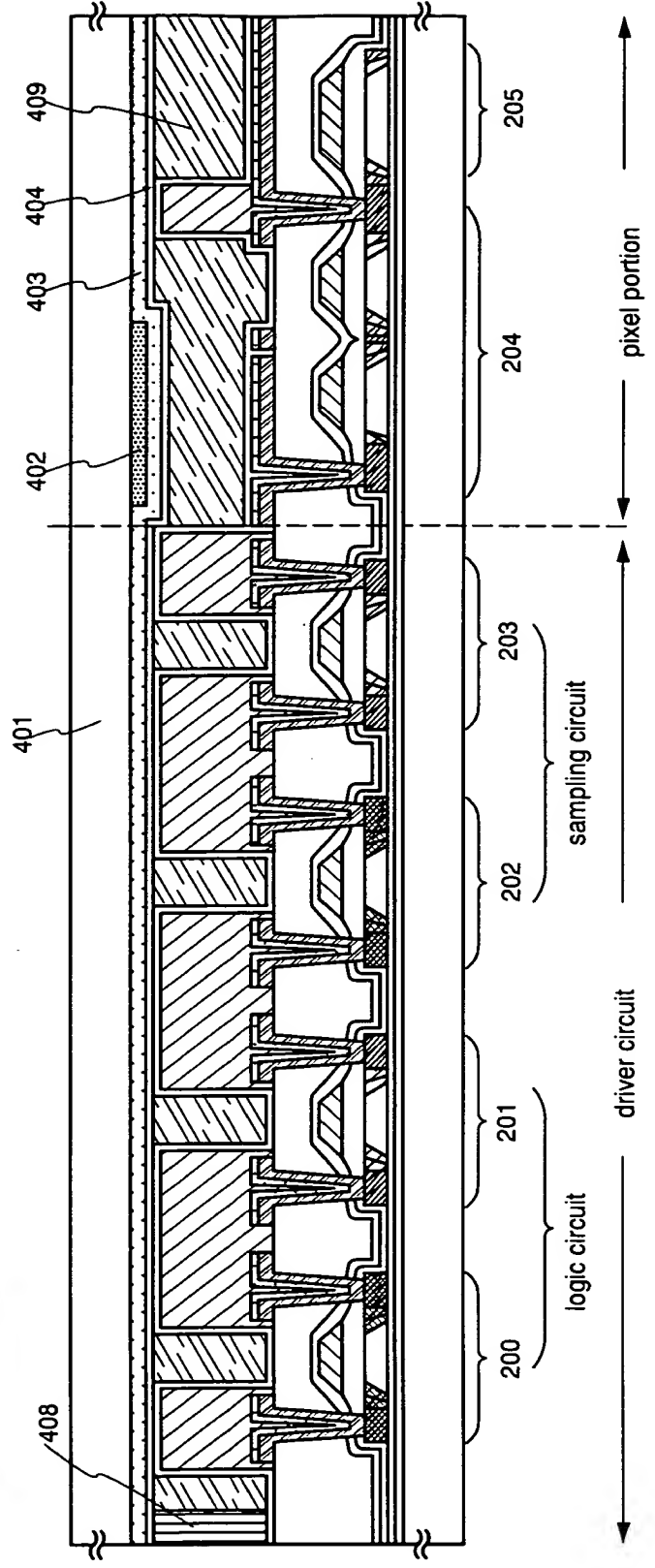


Fig. 16B



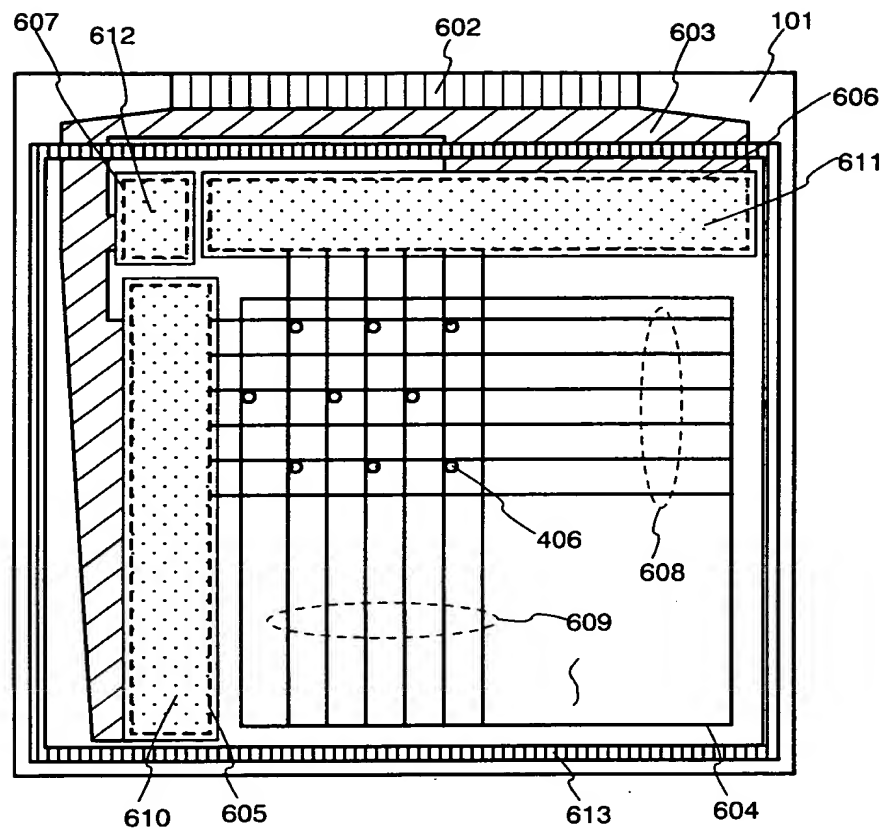


Fig. 17

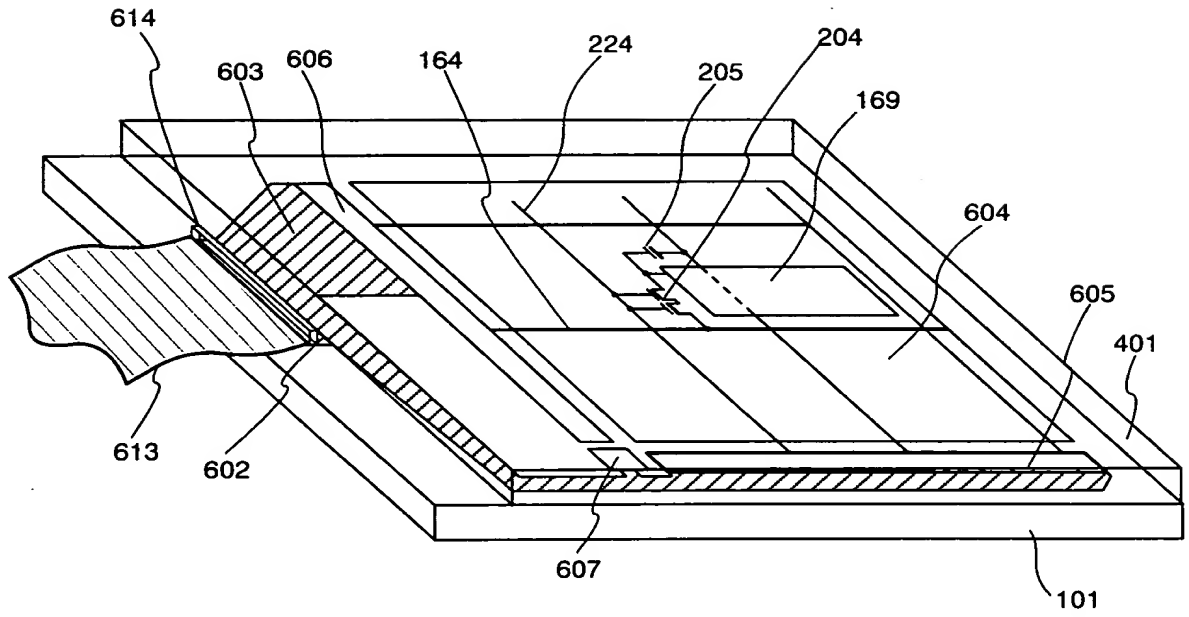


Fig. 18

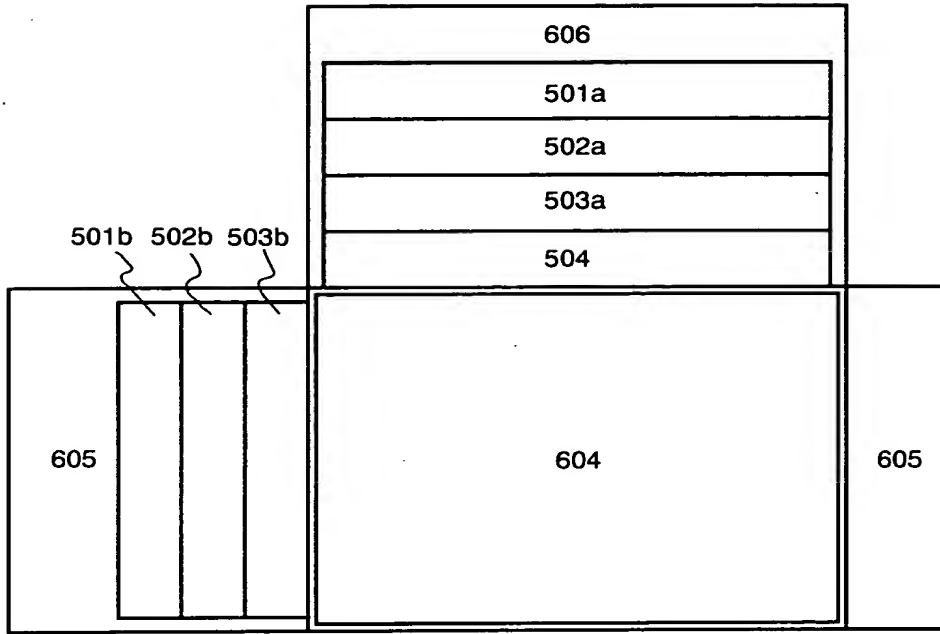


Fig. 19A

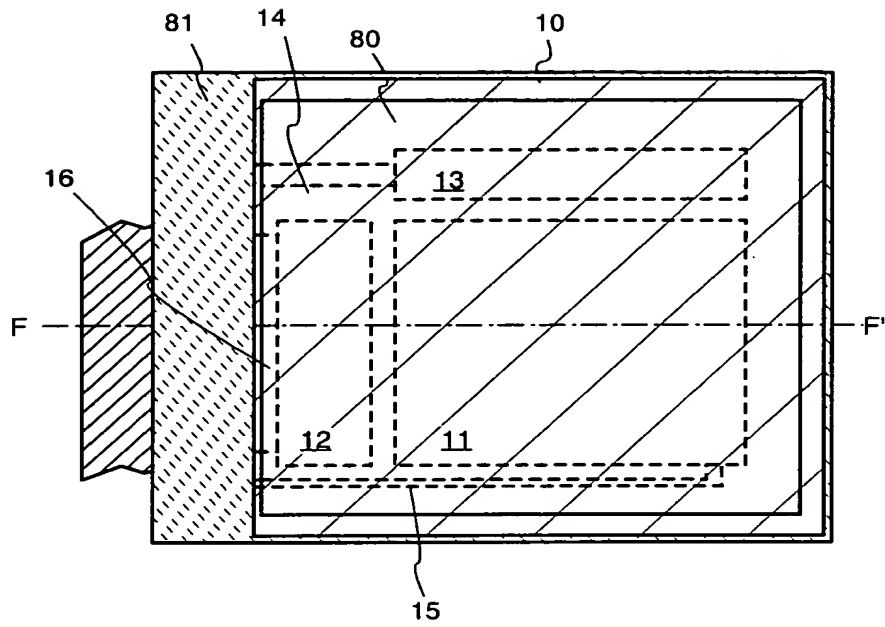


Fig. 20A

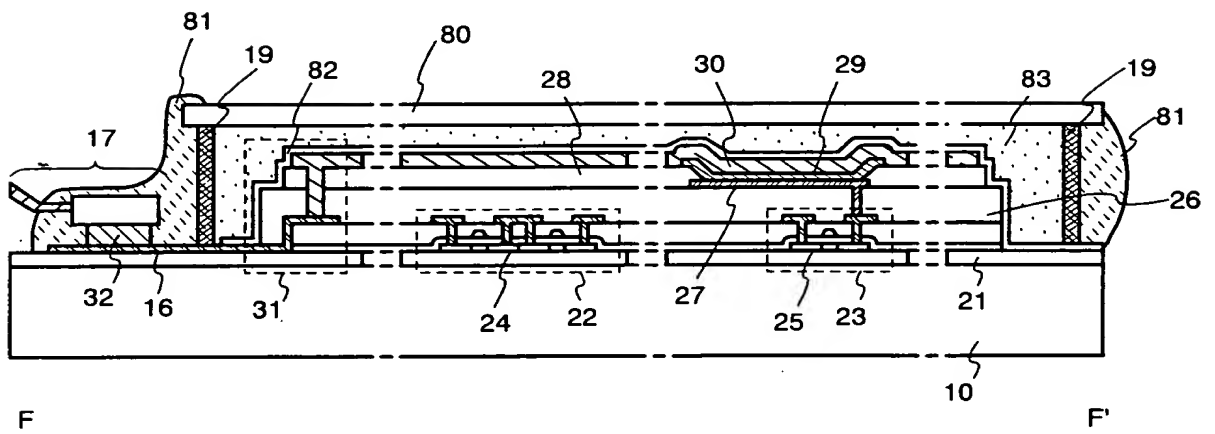


Fig. 20B

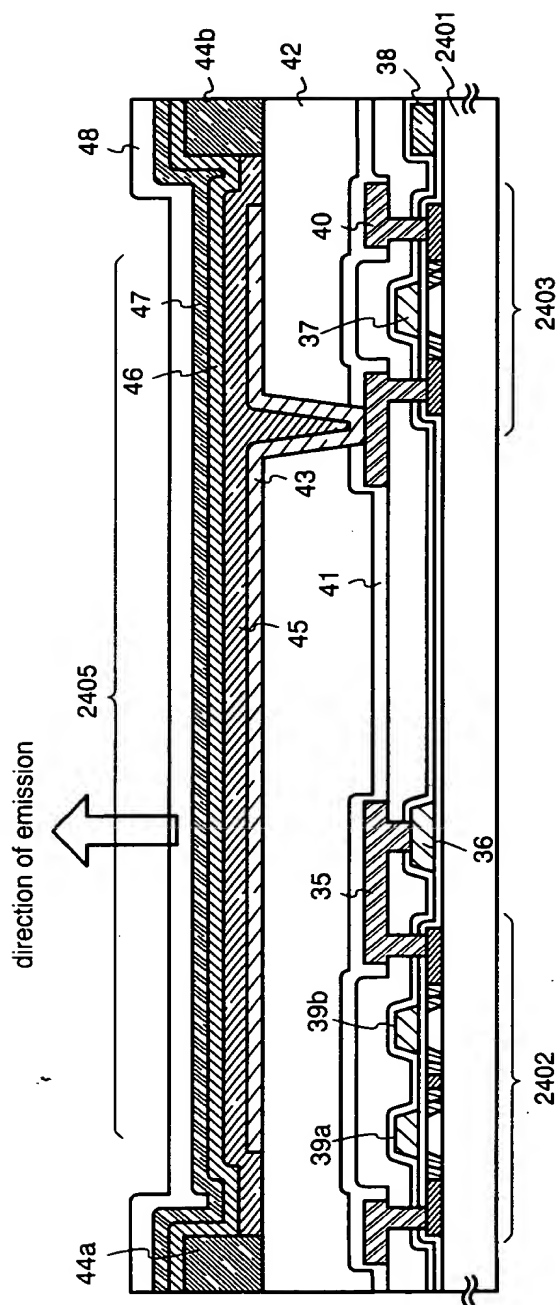


Fig. 21A

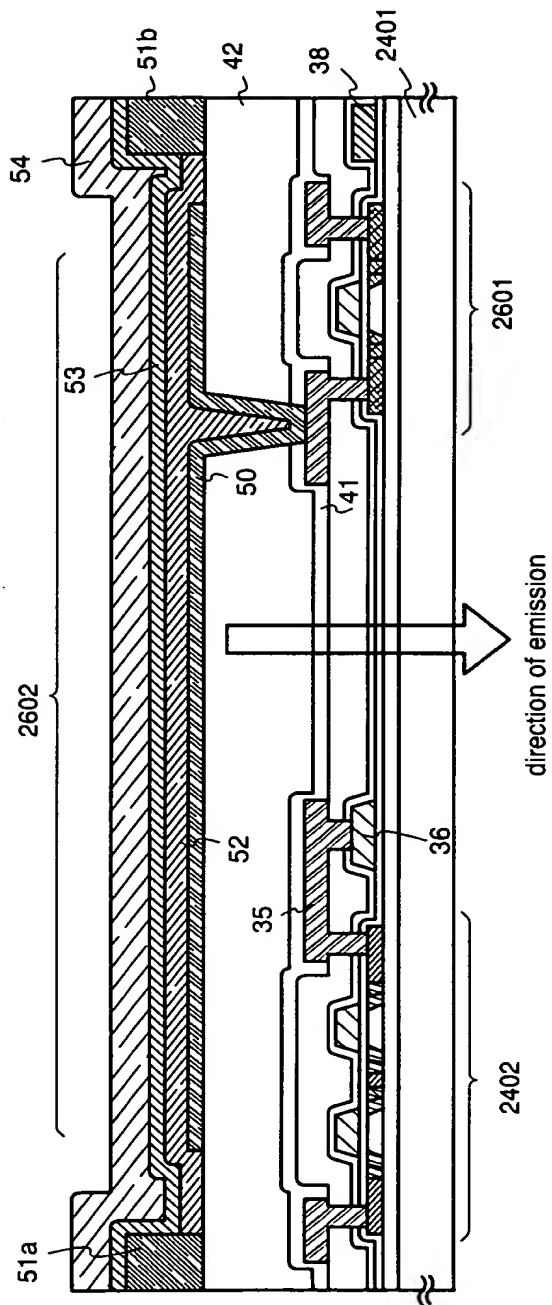


Fig. 21B

Fig. 22A

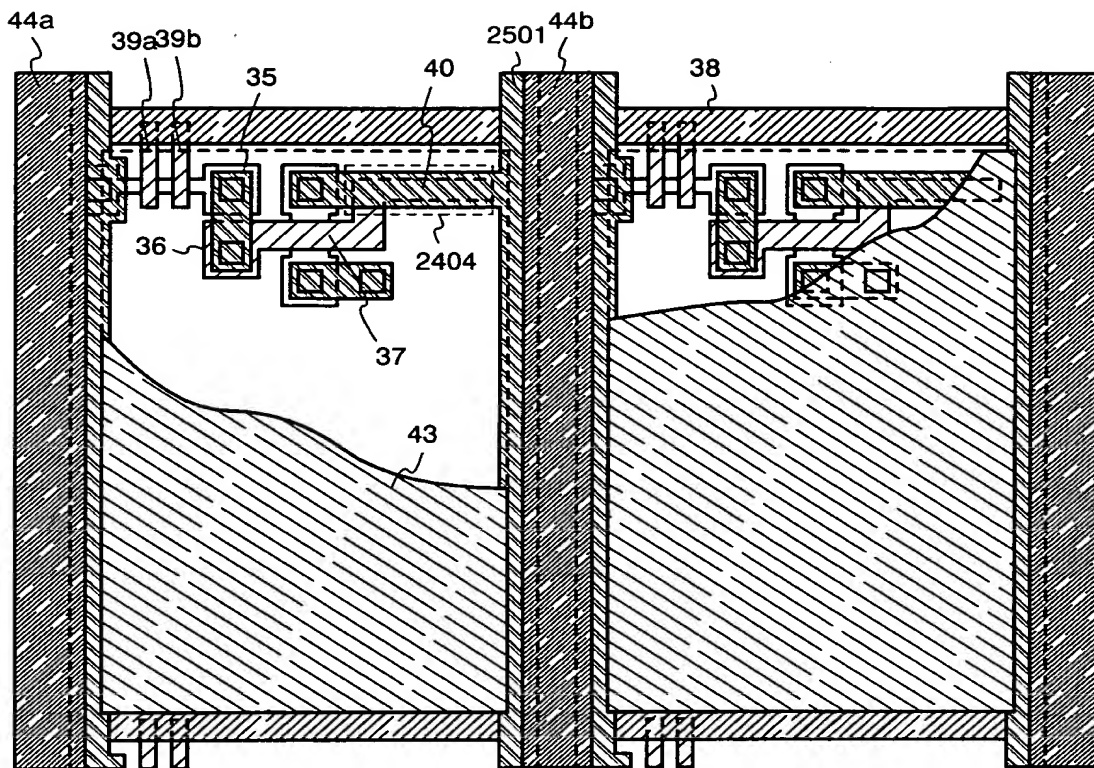
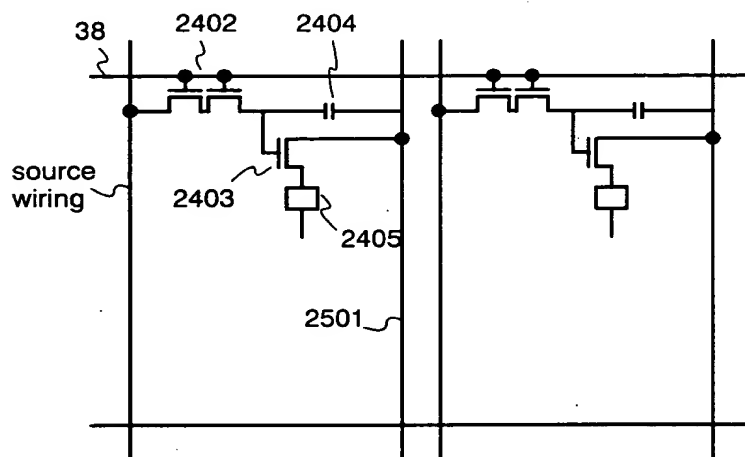


Fig. 22B



TO/240/6/24950

Fig. 23A

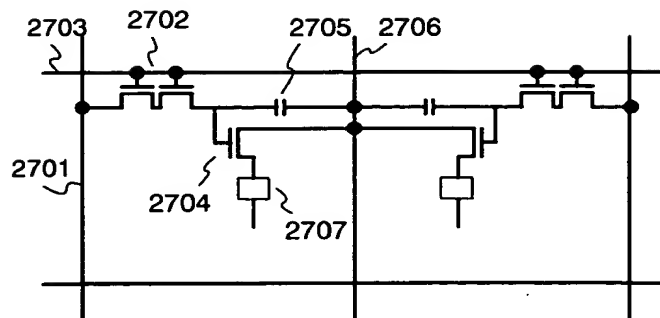


Fig. 23B

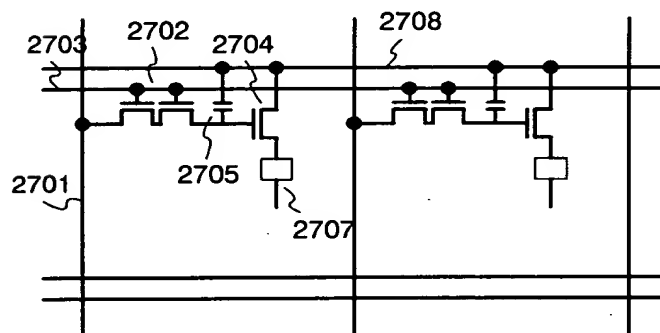
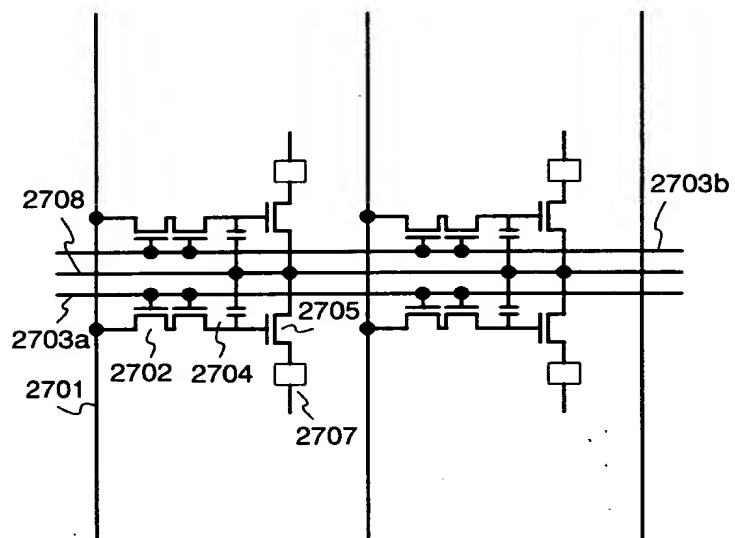


Fig. 23C



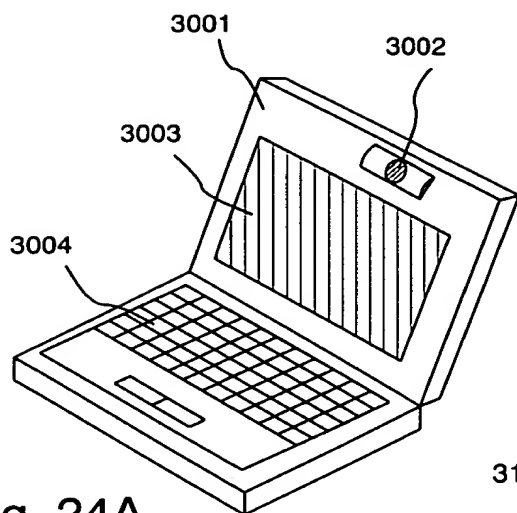


Fig. 24A

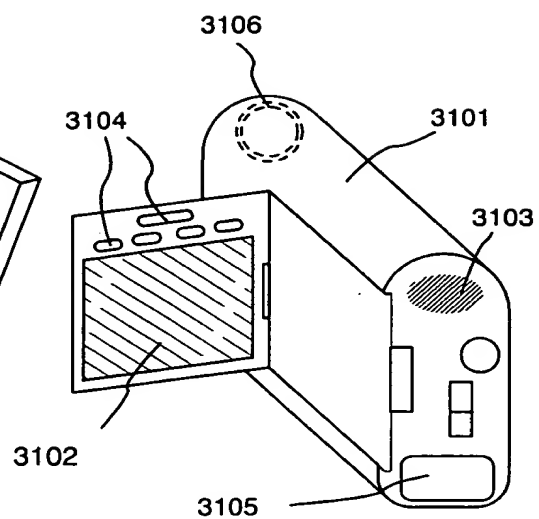


Fig. 24B

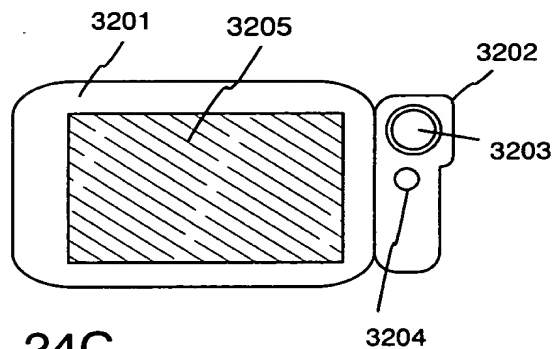


Fig. 24C

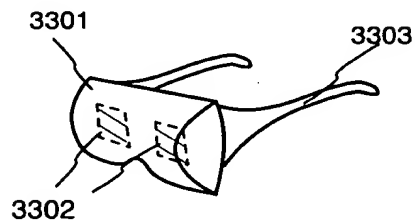


Fig. 24D

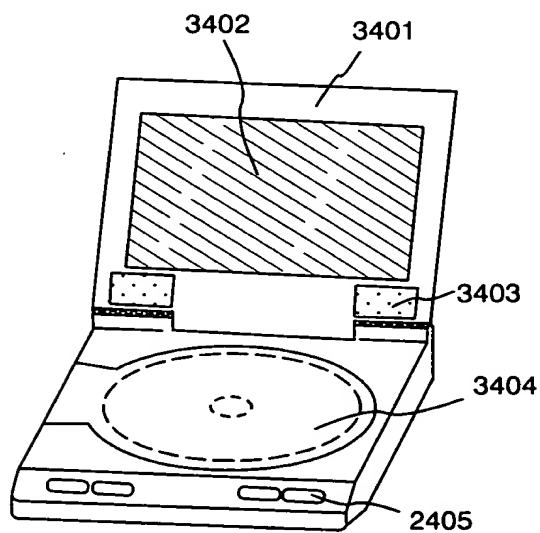


Fig. 24E

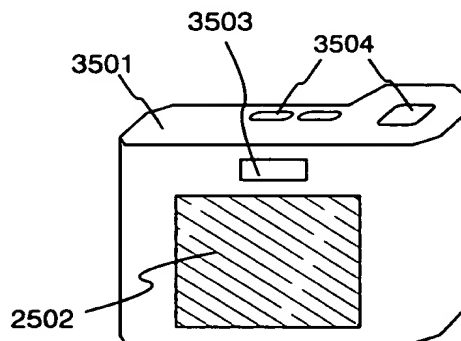


Fig. 24F

2025 RELEASE UNDER E.O. 14176



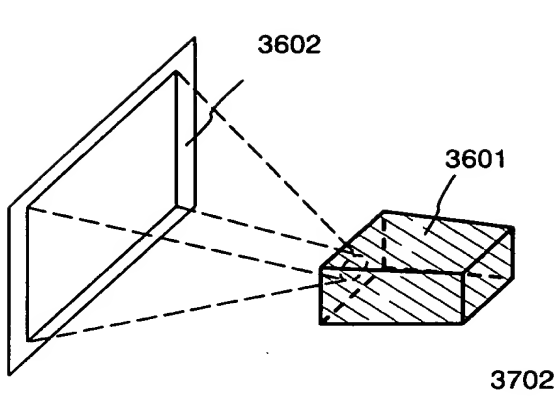


Fig. 25A

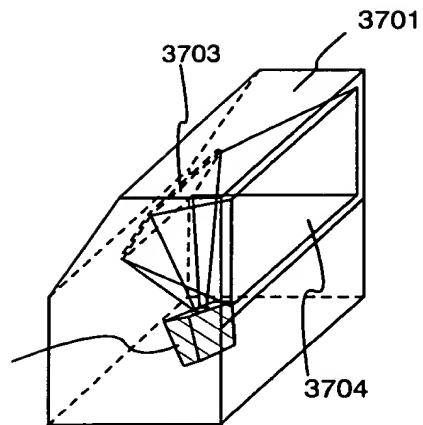


Fig. 15B

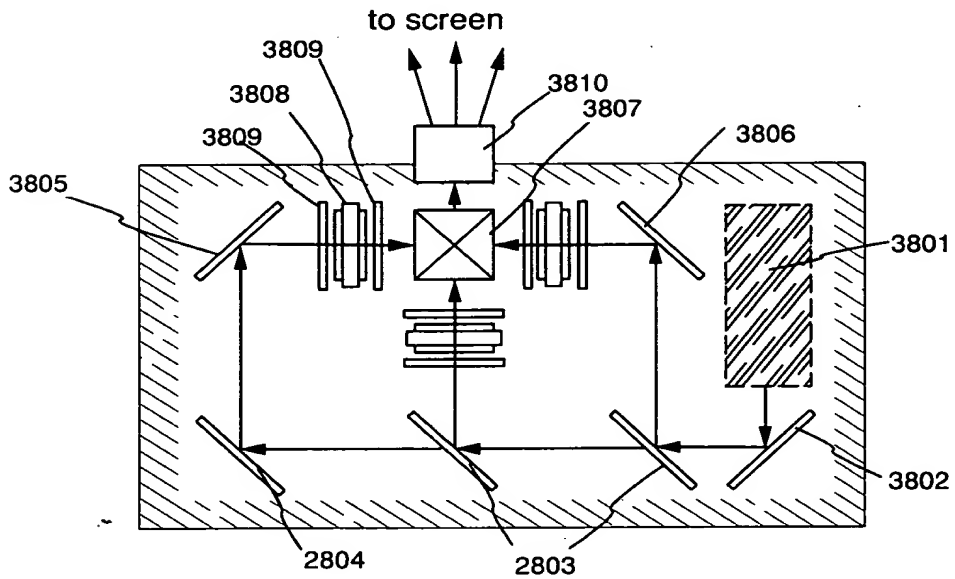


Fig. 25C

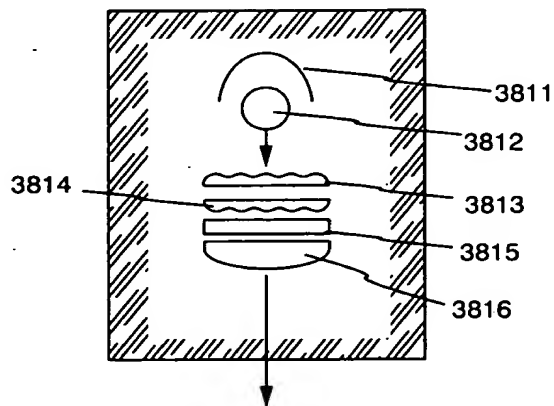


Fig. 25D

Fig. 26A

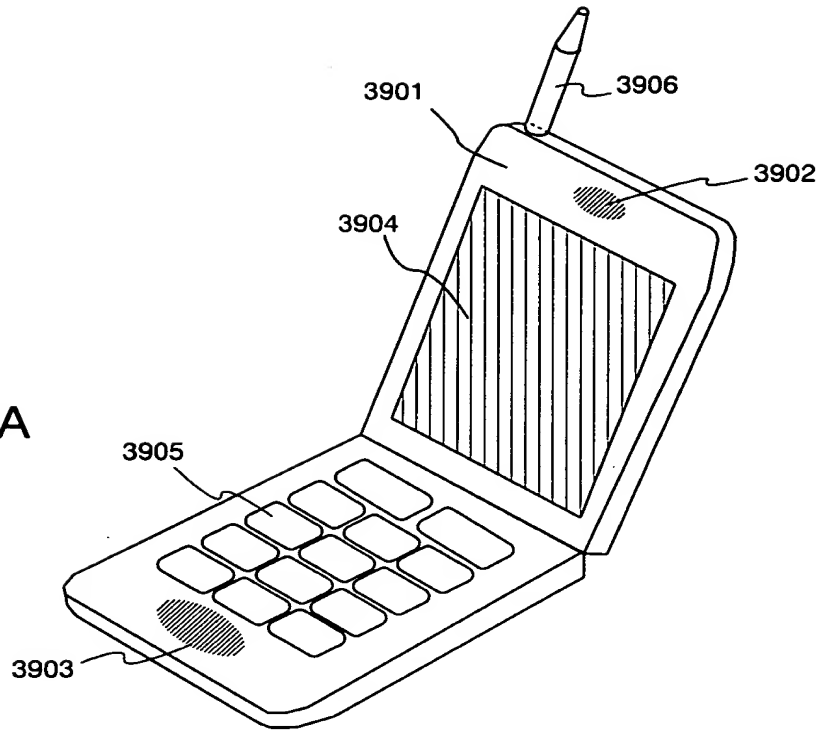


Fig. 26B

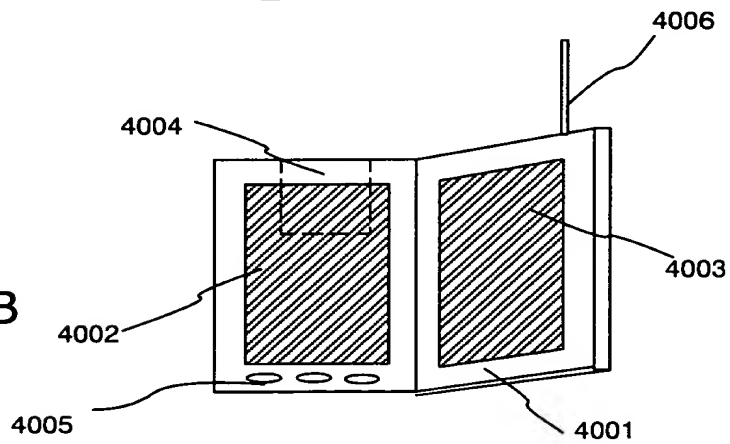


Fig. 26C

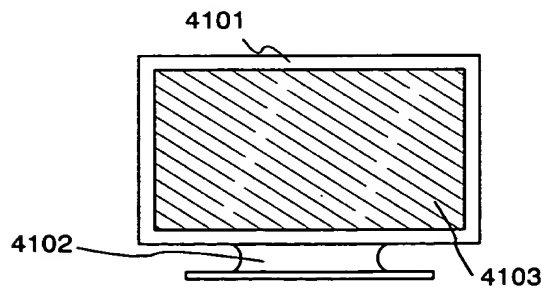


Fig. 27A

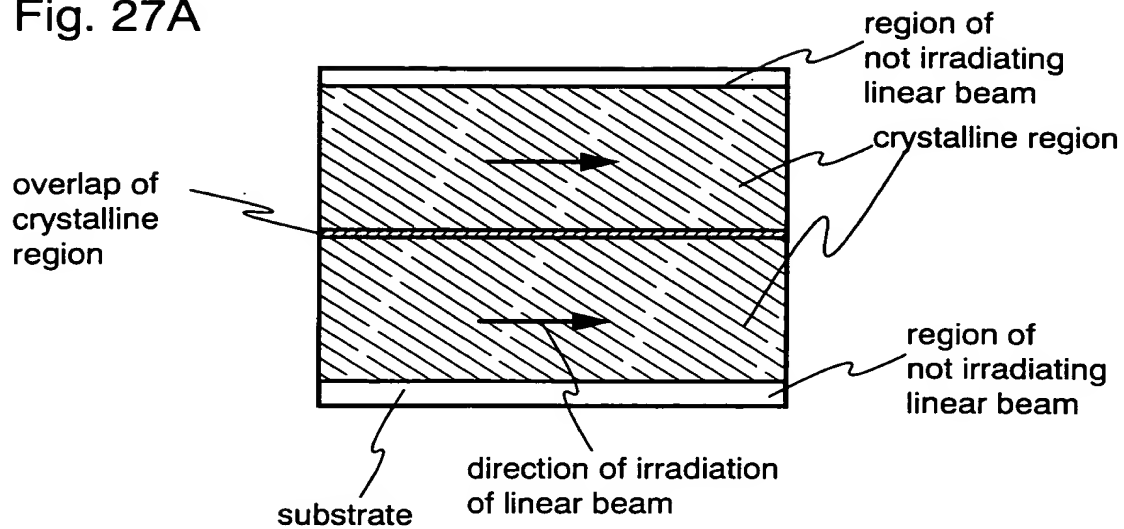


Fig. 27B

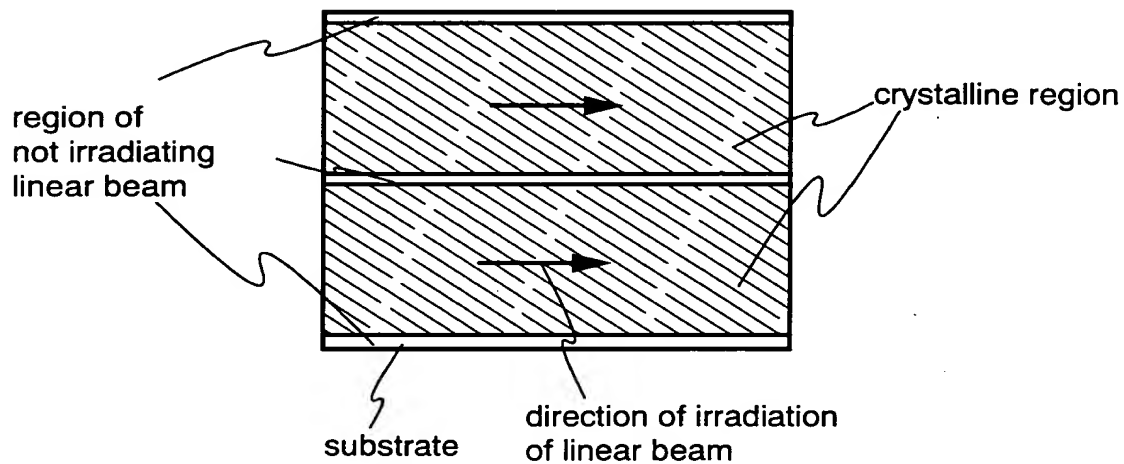


Fig. 27C

